

文章编号: 1004-0609(2005)06-0952-06

羟基磷灰石-氧化锆复合材料的致密化及其力学性能^①

刘继进, 阮建明, 邹俭鹏

(中南大学 粉末冶金国家重点实验室, 长沙 410083)

摘要: 在无压条件下, 采用添加 CaF_2 法制备了羟基磷灰石-氧化锆致密材料, 并研究了 CaF_2 含量对 HA-ZrO_2 材料的致密化、微观结构和力学性能的影响。结果显示: 在 HA-ZrO_2 (10%~40%, 质量分数, 下同) 复合材料中添加 CaF_2 , 使 HA 变成了分解温度高的氟部分取代羟基的磷灰石 FH A, 材料的密度和力学性能(抗弯强度和断裂韧性) 明显提高; 加入 6% (质量分数) CaF_2 经 1350 °C 烧结 4 h 后, HA-ZrO_2 (10%~40%) 的相对密度均达到 95%, 抗弯强度达到 100~120 MPa, 断裂韧性提高到 1.2~1.6 MPa·m^{1/2}; 随 ZrO_2 含量的升高, HA-ZrO_2 致密度有所下降; 而当 CaF_2 含量为 6%, ZrO_2 含量高于 40% 时, HA-ZrO_2 复合材料中形成 $\alpha\text{-Ca}_3(\text{PO}_4)_2$ 、 HA/ZrO_2 固溶体或立方氧化锆, 导致复合材料的力学性能下降。

关键词: HA-ZrO_2 复合材料; 致密化; 力学性能

中图分类号: TB 332

文献标识码: A

Densification and mechanical properties of hydroxyapatite-zirconia composite materials

LIU Jijin, RUAN Jianming, ZOU Jianpeng

(State Key Laboratory of Powder Metallurgy,

Central South University, Changsha 410083, China)

Abstract: Densified HA-ZrO_2 composites were fabricated by adding CaF_2 under pressureless condition. The effects of CaF_2 content on the densification, phase compositions, microstructures and mechanical properties of HA-ZrO_2 composites were investigated. The results show that the reaction between CaF_2 and HA leads to the formation of fluorine partially substituted hydroxyapatite FH A with higher thermal stability, which enhances the densification, microstructures and mechanical properties of HA-ZrO_2 composites. When the HA (10%~40%, mass fraction)- ZrO_2 composites adding 6% CaF_2 were sintered at 1350 °C for 4 h, their theoretical densities can reach more than 95%. Fracture strength reaches 100~200 MPa and fracture toughness can enhance 1.2~1.6 MPa·m^{1/2}. The effects of zirconia on phase compositions and mechanical properties were also studied. The densities of HA-ZrO_2 composites decrease with increasing ZrO_2 contents. When the mass fraction of CaF_2 is above 6% and that of ZrO_2 is above 40%, formations of CaZrO_3 , $\alpha\text{-Ca}_3(\text{PO}_4)_2$, HA/ZrO_2 solid solution, and c-ZrO_2 lead to the poorer mechanical property of HA-ZrO_2 composites.

Key words: HA-ZrO_2 composites; densification; mechanical properties

羟基磷灰石具有与人体硬组织相似的化学成分、晶体结构、较好的生物相容性和化学稳定性, 然而羟基磷灰石相对差的力学强度, 较大的脆性和低的断裂韧性值决定了单一的 HA 陶瓷材料很难

用于承载部位骨骼的替换^[1~4]。目前, 通过在 HA ($\text{Ca}_{10}(\text{PO}_4)_6(\text{OH})_2$) 基体中加入第二相材料(如聚合物、金属、陶瓷), 使材料的抗弯强度和断裂韧性有一定的改善。由 HA 和聚合物形成的复合材料具

① 收稿日期: 2004-11-05; 修订日期: 2005-02-28

作者简介: 刘继进(1966-), 男, 讲师, 博士。

通讯作者: 刘继进, 电话: 0731-8830614; E-mail: csliujj@sina.com

有较高的断裂韧性, 但抗弯强度低, 从而使其应用受到限制。作为第二相的金属, 易与 HA 发生反应, 除不锈钢短纤维外, 一般不宜作 HA 的增强相和增韧相^[5], 而生物惰性陶瓷可被广泛用作 HA 的增强相^[6, 7]。具有相变增韧效果的四方氧化锆, 比 Al_2O_3 有更好的韧性, 近来在生物陶瓷中的应用研究日趋增多, 且与 HA 的膨胀系数接近, 因此四方氧化锆具有更大的优越性^[8]。然而, 四方氧化锆增强 HA 存在相互间反应导致 HA 的分解, 影响材料的致密化行为。各种湿空气中的烧结、氧化锆粒子的表面包覆氧化铝、热压或热等静压烧结改进方法用以提高致密度^[9, 10], 但在经济和技术上都受到限制。

F-全取代羟基形成的氟磷灰石 FA 可提高 FA- Al_2O_3 的热稳定性^[11], 而且氟取代材料具有预防龋齿和提高化学稳定性的作用^[12]。本文作者通过添加 CaF_2 , 形成部分氟化 FHA 以提高 HA-ZrO₂ 复合材料的性能。在无压烧结的条件下, 研究了 CaF_2 的添加量对 HA-ZrO₂ 烧结体的密度、形貌和力学性能的影响, 从而实现 HA-ZrO₂ 致密化烧结。

1 实验

1.1 HA-ZrO₂ 复合材料制备

以湿化学法制备的羟基磷灰石 HA 和四方氧化锆(3% Y_2O_3 -ZrO₂(摩尔分数), 简称 ZrO₂ 或 t-ZrO₂)超细粉为原料, 加入 10%、20%、30% 和 40% (质量分数) 的 ZrO₂ 制备 HA-ZrO₂ 复合材料, 分别标识为 HZ1、HZ2、HZ3、HZ4。在 HA 中加入 2%、4%、6%、8% (质量分数) 的 CaF_2 (相对 HA-ZrO₂ 质量而言) 作添加剂, 以 2% 聚乙烯醇 (PVA) 作粘结剂。粉料在球磨筒中混合后, 加入无水乙醇, 以氧化锆球为球磨介质, 在行星球磨机中球磨 12 h。球磨后的浆料在 80 °C 下干燥 24 h, 过 100 目筛。粉末混合物在 600 MPa 压力下单向冷压成圆样 d 12 mm 和 30 mm × 4 mm × 4 mm 条状试样, 经 600 °C 下预烧脱胶 3 h, 最后在 1 200~1 450 °C 无压烧结 4 h, 升温速度为 10 °C/min, 随炉冷却。

1.2 材料表征及力学性能

烧结试样的密度由阿基米德法测定。分别取 HA 和 ZrO₂ 的理论密度值为 3.16 和 6.00 g/cm³, 计算 HA-ZrO₂ 复合材料的相对密度。用日本理学 D/max-rA 型转靶 X 射线衍射分析仪对烧结试样进行 X 射线衍射分析, 以硅粉作内标, 测定 HA 的晶

格参数。

将待测试样的表面用 SiC 砂纸打磨、抛光后, 在 10% (质量分数) 柠檬酸溶液中腐蚀 2 min, 取出洗净, 低温烘干后进行喷金, 并用 KYKY-2800 扫描电镜分析试样的微观形貌。

将试样表面研磨并倒角后, 采用三点弯曲法测试抗弯强度, 加载速度为 0.5 mm/min, 跨距为 20 mm, 采用压痕实验法测定断裂韧性(K_{Ic})。

2 结果与分析

2.1 CaF₂ 对 HA-ZrO₂ 的微结构和致密化行为的影响

图 1 所示为在 1 350 °C 烧结 4 h 所得的 HZ2 (HA-20% ZrO₂) 复合材料的 SEM 像。从图 1 中可看出, 在 HA 基体中, 均匀分布着球形 ZrO₂ 颗粒。未加 CaF_2 时, 致密化程度差, 存在着大量的孔隙; 当加入 2% CaF_2 时, 孔隙明显减少; 当加入量超过 4% CaF_2 时, 致密化程度已大大提高。图 2 所示为 HZ2 复合材料的烧结致密化曲线。从图 2 中可看出, 未加 CaF_2 的 HA-ZrO₂ 复合材料的烧结致密化过程缓慢, 于 1 450 °C 下烧结 4 h 时, 所得烧结体的相对密度仅为 82%。分别添加 2%、4%、6% 和 8% CaF_2 时, 烧结致密化速度加快, 1 400 °C 后, 趋于一个接近全致密化的平台, 致密化温度也大大降低。图 3 所示为 ZrO₂ 和 CaF_2 含量对 HA-ZrO₂ 复合材料致密度的影响。从图 3 中可看出, 随着 ZrO₂ 含量的升高, 复合材料的致密性有所下降。添加少量 CaF_2 可明显提高 HA-ZrO₂ 的致密化。加入 6% CaF_2 , 孔隙率减少, 终态相对密度达到 95% 以上。可见, 添加 6% CaF_2 可满足完全致密化的要求。

2.2 烧结样品的相变化及热稳定性

图 4 所示为不同 CaF_2 的添加量对 HZ2(HA-20% ZrO₂) 相结构的影响。从图 4 中可看出, HZ2 在烧结过程中, 出现了不同的物相。未加 CaF_2 时, 在 31°附近出现了较强的衍射峰, 表明生成了 β -TCP(β -Ca₃(PO₄)₂); 当 CaF_2 加入量为 2% 时, 该峰的强度已明显的减弱; 当 CaF_2 加入量超过 4% 时, 峰已完全消失。HA 为六方结构, 氟取代 OH⁻ 后, HA 的晶格参数发生变化, a 轴参数变小, 而 c 轴值基本不变。图 5 所示为 HA 的晶格参数随 CaF_2 含量的变化曲线。由图 5 可看出, HA 变成了部分氟取代的氟羟基磷灰石(FHA)。由此说明, CaF_2 的加入增强了 HA 的稳定性, 提高了 HA 的

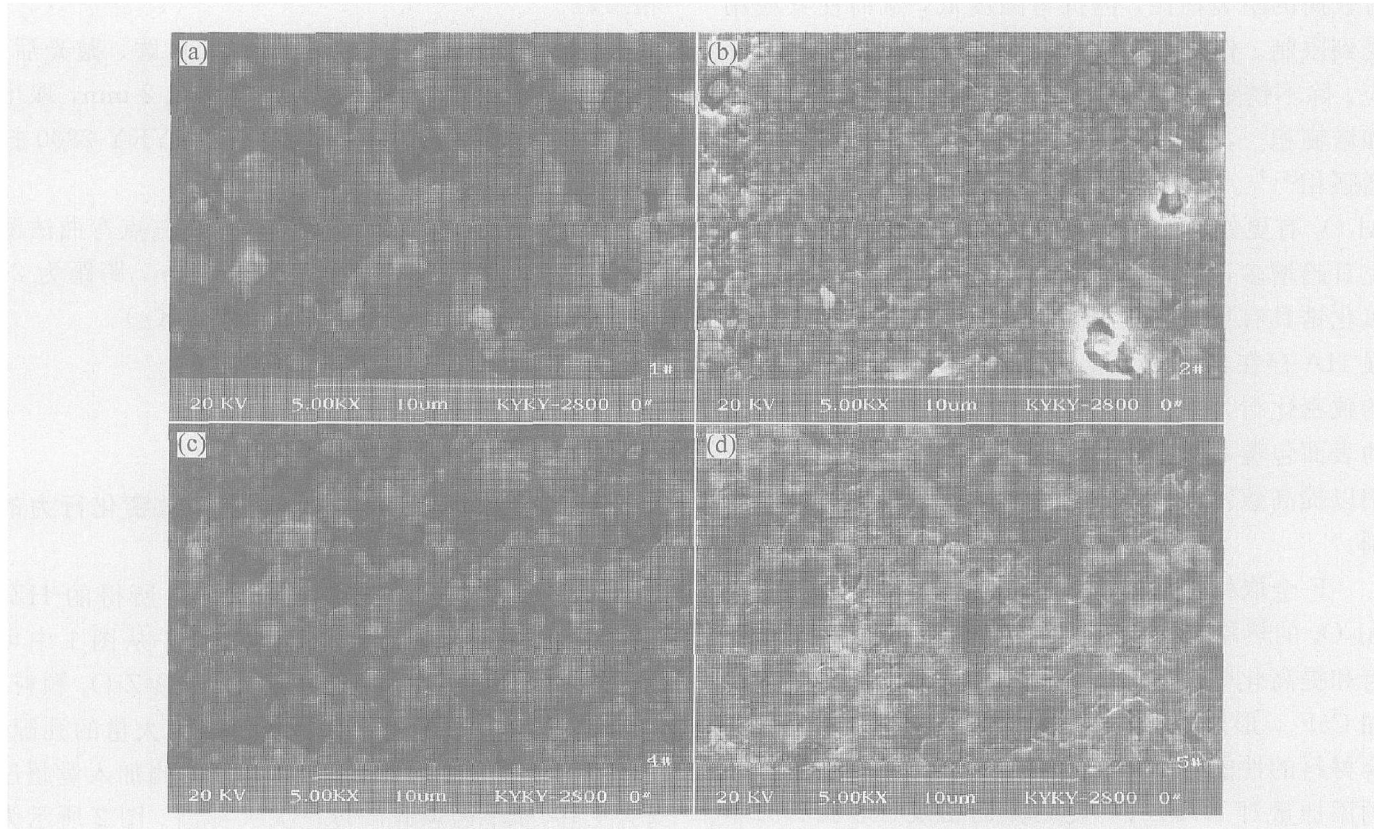
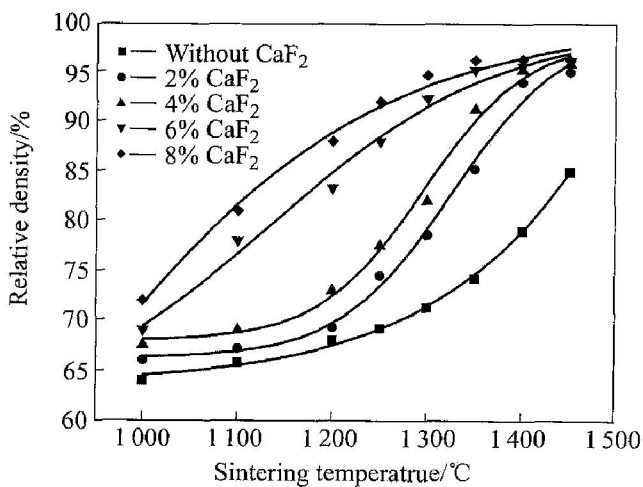
图 1 HA-ZrO₂ 烧结样品的 SEM 像**Fig. 1** SEM images of HA-20% ZrO₂ composites after sintering at 1350 °C for 4 h(a) —Without CaF₂; (b) —2% CaF₂; (c) —4% CaF₂; (d) —6% CaF₂图 2 HA-20% ZrO₂ 复合材料的相对密度与烧结温度的关系

Fig. 2 Relation between relative density of HA-20% ZrO₂ composites and sintering temperature

分解温度。图 6 所示为 CaF₂ 加入量为 6% 时, ZrO₂ 含量对相组成的影响。在 HZ1 和 HZ2 样品的 X 射线衍射谱上只有 HA 和 ZrO₂ 相应的衍射峰, 未见任何其他杂质峰, 如 CaZrO₃ 和 CaO。而 HZ3 和 HZ4 的衍射谱上出现了 α -TCP(α -Ca₃(PO₄)₂) 的衍射峰, 这与大多数文献的结果不一样^[13~15], 而且 HA 的峰已明显宽化, 除在 34° 处有一可分辨的

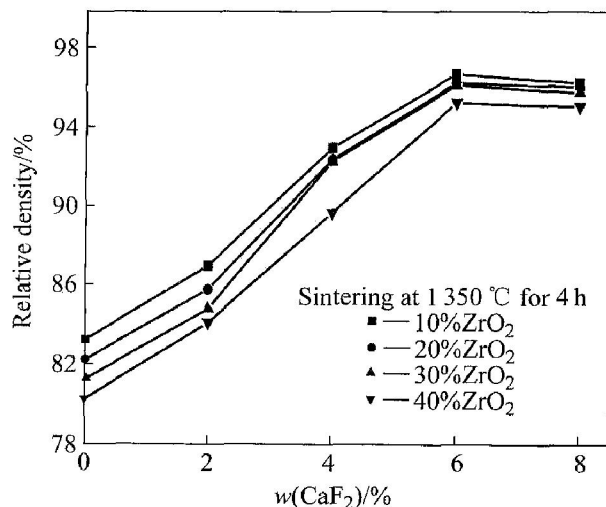
图 3 HA-ZrO₂ 复合材料的相对密度与 CaF₂ 含量的关系

Fig. 3 Relationship between relative density of HA-ZrO₂ composites and CaF₂ contents

HA 峰外, 其他特征峰已完全消失。由此说明, CaF₂ 能稳定复合材料的相成分和结构, 同时还受到 ZrO₂ 的含量的影响。

2.3 复合材料的力学性能

材料的力学性能与材料本身的微结构和致密化

程度有很大的关系。图 7 所示为 1350 °C 烧结 4 h 的 HA-ZrO₂ 复合材料的抗弯强度与 CaF₂ 含量的关系

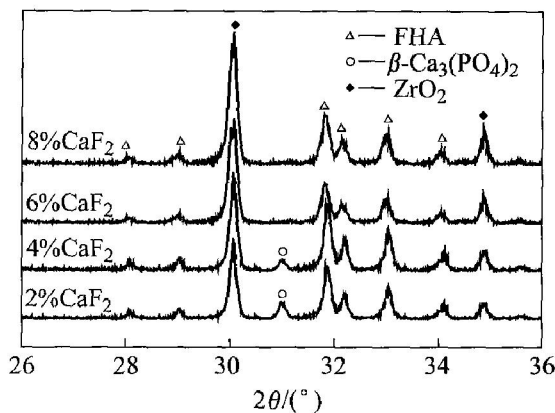


图 4 不同 CaF₂ 添加量 HA-20% ZrO₂ 的 X 射线衍射谱

Fig. 4 XRD patterns of HA-20% ZrO₂ composites with different content of CaF₂ after sintering at 1350 °C for 4 h

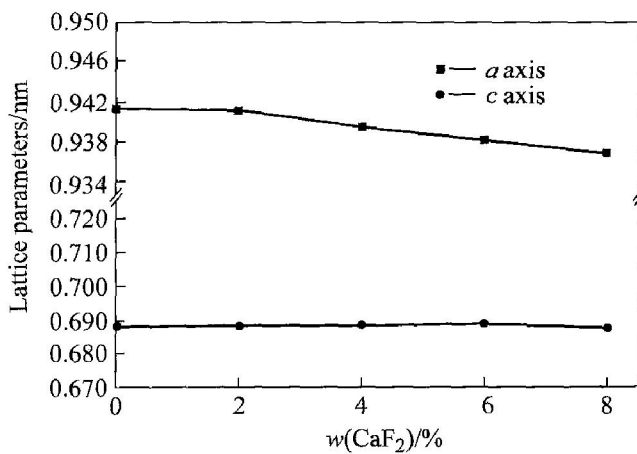


图 5 HA 的晶格参数随 CaF₂ 含量的变化关系

Fig. 5 Relationship between lattice parameters of HA in HA-ZrO₂ composites and CaF₂ content after sintering at 1350 °C for 4 h

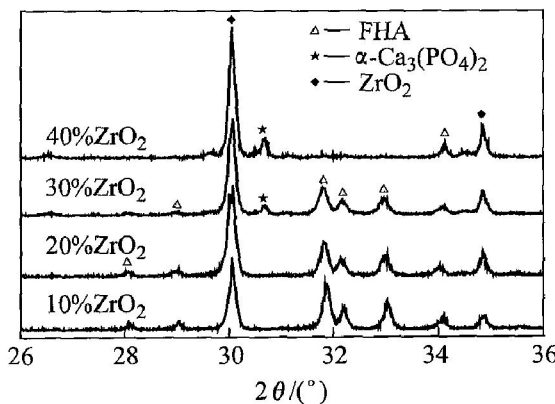


图 6 HA-ZrO₂ 复合材料的 X 射线衍射谱

Fig. 6 XRD patterns of HA-ZrO₂ composites with 6% CaF₂ after sintering at 1350 °C for 4 h

曲线。无 CaF₂ 时, HA-ZrO₂ 复合材料的相对密度较低, 强度也较低(只有 30~50 MPa), 而 HZ4 的强度稍高(为 60 MPa); 当 CaF₂ 的含量增加时, HA-ZrO₂ 复合材料的相对密度和抗弯强度明显增大。加入 6% CaF₂ 时, HZ1, HZ2, HZ3 的抗弯强度分别达到 100~120 MPa, 较烧结致密的纯 HA 的抗弯强度高了近一倍^[2]。图 8 所示为 CaF₂ 含量与 HA-ZrO₂ 烧结复合材料断裂韧性的关系。由图 8 可看出, HA-ZrO₂ 复合材料的断裂韧性与其抗弯强度曲线有着相似性。无 CaF₂ 时, 断裂韧性值为 0.4~0.7 MPa·m^{1/2}; 加入 6% CaF₂ 时, 样品 HZ1, HZ2, HZ3 的断裂韧性明显增大了(为 1.2~

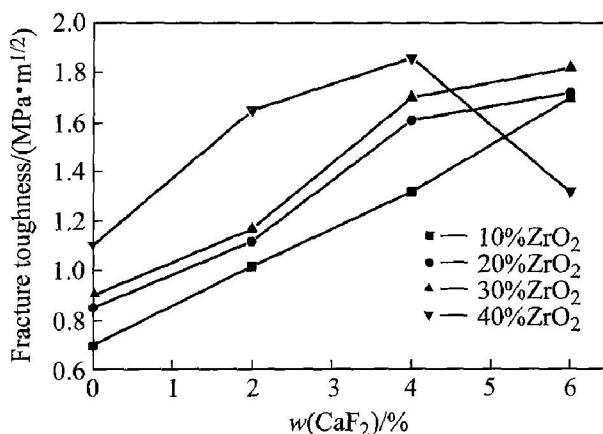


图 7 HA-ZrO₂ 烧结复合材料的抗弯强度与 CaF₂ 含量的关系

Fig. 7 Relationship of flexural strength for HA-ZrO₂ composites after sintering at 1350 °C for 4 h and CaF₂ content

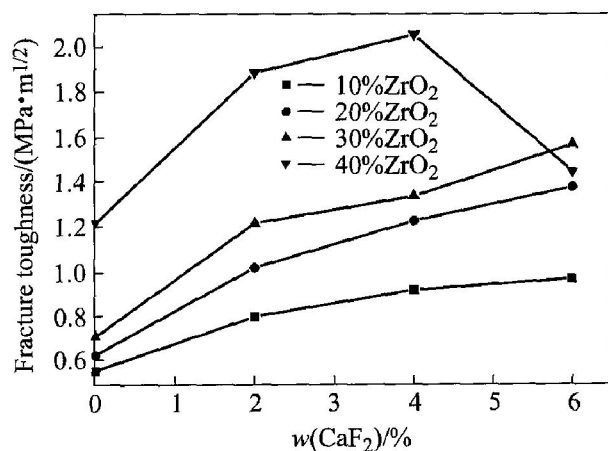


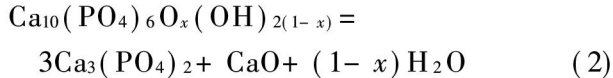
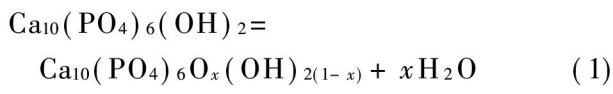
图 8 HA-ZrO₂ 烧结复合材料的 CaF₂ 含量与断裂韧性的关系

Fig. 8 Relationship between CaF₂ content and fracture toughness of HA-ZrO₂ composites after sintering at 1350 °C for 4 h

1.6 MPa·m^{1/2})。HA-ZrO₂的抗弯强度和断裂韧性值基本随着ZrO₂的增加而升高,只是HZ4有些例外。当CaF₂含量大于6%时,抗弯强度只有85 MPa,断裂韧性值为1.2 MPa·m^{1/2}。

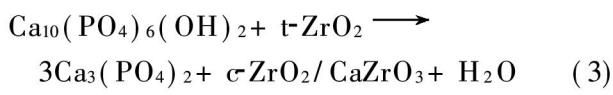
3 讨论

单一的HA在无压烧结条件下可以完全致密而不分解。加入用于提高HA力学性能的ZrO₂,在无压下与HA烧结成完全致密的HA-ZrO₂复合材料。要保持HA的晶体结构不变是很困难的,不少学者已作过较多的研究^[10, 15~17]。通常认为,HA的分解可分为HA的脱水和脱水产物的分解生成磷酸钙两个阶段,反应式为^[13]

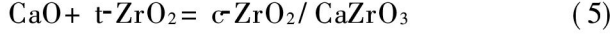
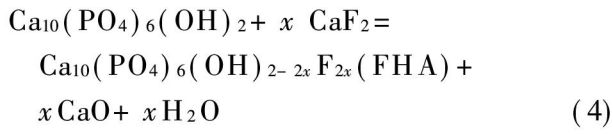


而HA的起始分解温度在不同条件下不相同。通常认为加入ZrO₂后,HA的分解温度更进一步的降低。在本研究无压烧结条件下,可提高HA的热稳定性,拟制或克服HA的分解,制备出既有生物活性又有一定荷载能力的致密复合材料。

当ZrO₂存在时,HA的分解反应为



未加CaF₂或CaF₂含量较低时,分解产物的β-Ca₃(PO₄)₂会出现(图4),但仍未有CaZrO₃的衍射峰的出现,可能是CaZrO₃的含量低于X射线衍射检测到的含量,但在TEM图上可检测到CaZrO₃相的存在^[17]。CaF₂的加入,在烧结时发生如下反应:

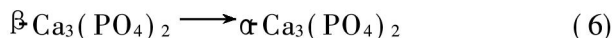


Ca₁₀(PO₄)₆(OH)_{2-2x}F_{2x}与Ca₁₀(PO₄)₆(OH)₂发生固溶反应,生成氟磷灰石Ca₁₀(PO₄)₆F₂^[14, 15]。

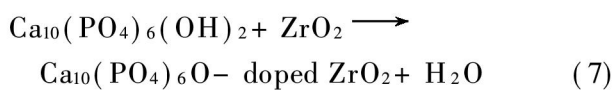
此外,CaO的存在对复合材料的力学性能是不利的。氟取代OH⁻产生的CaO,作为氧化锆的稳定剂和生成CaZrO₃的原料^[15]。

在HZ1和HZ2中,加入6% CaF₂时,无β-Ca₃(PO₄)₂出现;而在HZ3和HZ4样品,出现了少量的α-Ca₃(PO₄)₂。经计算,HZ1, HZ2, HZ3 和 HZ4 中羟基被F⁻完全取代所需的CaF₂分别为6.990%, 6.215%, 5.440%, 4.660% CaF₂。HZ4中加入6%

CaF₂时,已能使OH⁻完全被F⁻取代,因此从CaF₂对相组成的影响来看,在低于全取代的CaF₂含量时,能有效地抑制HA分解。ZrO₂的含量高,与HA粒子接触的机会增多,加大了诱发分解的可能性,发生反应(3),生成的低温相β-Ca₃(PO₄)₂转变成高温相α-Ca₃(PO₄)₂^[17],可保留到室温,即



在等离子喷涂制备HA-ZrO₂涂层时,高温下ZrO₂的局部熔化也形成HA/ZrO₂固溶体^[18~20]:



在ZrO₂含量为30%~40%的复合材料中,HA峰基本消失,而ZrO₂的衍射峰加强(见图6)。由于HA和氟部分取代FHA与ZrO₂固溶反应生成的固溶体,从而导致HA峰的消失。

材料的孔隙或其他缺陷,往往是产生裂纹的源头。加入CaF₂导致孔隙率的降低,提高HA-ZrO₂致密化能力和力学性能。CaF₂对HA-ZrO₂的致密化起了关键作用,但在ZrO₂含量较高的HZ4中,4% CaF₂使其达到最佳的力学性能。CaF₂含量高于6%时,HZ4的力学性能开始下降。根据上述讨论,在HZ4中主要生成了α-Ca₃(PO₄)₂、HA/ZrO₂固溶体或σ-ZrO₂,从而失去了相变增韧的作用,而可能存在的CaZrO₃也是脆性材料,使得HZ4的力学性能下降。

4 结论

1) 在HA-ZrO₂复合材料中加入CaF₂,氟部分取代羟基磷灰石的OH⁻,形成了氟羟基磷灰石FHA,提高了HA-ZrO₂的热稳定性和烧结性能,从而改善了HA-ZrO₂复合材料的力学性能。

2) 添加4% CaF₂时,在无压条件下于1350℃烧结4 h,制备了ZrO₂含量为10%~40%的HA-ZrO₂复合材料,烧结相对密度均达到95%,抗弯强度达到100~120 MPa,断裂韧性提高到1.2~1.6 MPa·m^{1/2}。

3) 当CaF₂含量为6%,ZrO₂含量高于40%时,在HA-ZrO₂复合材料中形成α-Ca₃(PO₄)₂、HA/ZrO₂固溶体或立方氧化锆,从而导致HA-ZrO₂的力学性能下降。

REFERENCES

- [1] Suchanek W, Yoshimura M. Processing and properties

- of hydroxyapatite-based biomaterials for use as hard tissue replacement implants [J]. *J Mater Res*, 1998, 13(1): 94–117.
- [2] Thangamani N, Chinnakali K, Gnanam F D. The effect of powder processing on the mechanical properties of hydroxyapatite [J]. *Ceramics International*, 2002, 28(4): 353–362.
- [3] Hench L L. Bioceramics: from concept to clinic [J]. *J Am Ceram Soc*, 1991, 74(7): 1487–1510.
- [4] Choi J W, Kong Y M, Kim H E, et al. Reinforcement of hydroxyapatite bioceramic by addition of Ni₃Al and Al₂O₃ [J]. *J Am Ceram Soc*, 1998, 81(7): 1743–1748.
- [5] De W G, Corbijn A J. Metal fibre reinforced hydroxyapatite ceramics [J]. *J Mater Sci*, 1989, 24(9): 3411–3415.
- [6] Ji H X, Marquis P M. Preparation and characterization of Al₂O₃ reinforced hydroxyapatite [J]. *Biomaterials*, 1992, 13(11): 744–748.
- [7] Heimann R B, Vu T A. Effect of CaO on thermal decomposition during sintering of composite hydroxyapatite-zirconia mixtures for monolithic bioceramic implants [J]. *J Mater Sci Lett*, 1997, 16(6): 437–439.
- [8] Li J, Liao H, Hermansson L. Sintering of partially stabilized zirconia and partially stabilized hydroxyapatite composites by hot isostatic pressing and pressureless sintering [J]. *Biomaterials*, 1996, 17(18): 1787–1790.
- [9] Delgado J A. Zirconia-toughened hydroxyapatite ceramic obtained by wet sintering [J]. *J Mater Sci: Mater Med*, 1999, 10(12): 715–719.
- [10] Takagi M, Mochida M, Uchida N, et al. Filter cake forming and hot isostatic pressing for TZP-dispersed hydroxyapatite composite [J]. *J Mater Sci: Mater Med*, 1992, 3(4): 199–203.
- [11] Adolfsson E, Nygren G, hermannsson. Decomposition mechanisms in aluminum oxide-apatite systems [J]. *J Am Ceram Soc*, 1999, 82(10): 2909–2911.
- [12] Chen Y M, Miao X G. Effect of fluorine addition on the corrosion resistance of hydroxyapatite ceramics [J]. *Ceramics International*, 2004, 30(7): 1961–1965.
- [13] Cihlář J, Buchal A, Trunec M. Kinetics of thermal decomposition of hydroxyapatite bioceramics [J]. *J Mater Sci*, 1999, 34(24): 6121–6131.
- [14] Kim H W, Noh Y H, Koh Y H, et al. Effect of CaF₂ on densification and properties of hydroxyapatite-zirconia composites for biomedical applications [J]. *Biomaterials*, 2002, 23(20): 4113–4121.
- [15] Kim H W, Kong Y M, Koh Y H, et al. Pressureless sintering and mechanical and biological properties of fluor-hydroxyapatite composites with zirconia [J]. *J Am Ceram Soc*, 2003, 86(12): 2019–2026.
- [16] Rapacz-Kmita, Ślósarczyk, Paszkiewicz Z, et al. Phase stability of hydroxyapatite-zirconia (HAp-ZrO₂) composites for bone replacement [J]. *Journal of Molecular Structure*, 2004, 704(1–3): 333–340.
- [17] Guo H, Khor K A, Boey Y C, et al. Laminated and functionally graded hydroxyapatite/yttria stabilized tetragonal zirconia composites fabricated by spark plasma sintering [J]. *Biomaterials*, 2003, 24(4): 667–675.
- [18] Fu L, Khor K A, Lim J P. Effects of yttria-stabilized zirconia on plasma-sprayed hydroxyapatite/yttria-stabilized zirconia composites coatings [J]. *J Am Ceram Soc*, 2002, 85(4): 800–806.
- [19] Fu L, Khor K A, Lim J P. Processing, microstructure and mechanical properties of yttria stabilized zirconia reinforced hydroxyapatite coatings [J]. *Mater Sci Eng A*, 2001, A316(1–2): 46–51.
- [20] Chou B Y, Chang Edward. Microstructural characterization of plasma-sprayed hydroxyapatite-10% ZrO₂ composites coating on titanium [J]. *Biomaterials*, 1999, 20(19): 1823–1832.

(编辑 李艳红)